تحقق من الانبعاج المرن لصفائح مثقبة في هياكل الطائرات

د. سعد عباس خضر الصراف* أ.د. حسين جاسم محمد العلكاوي ** جميل حسين ذرب ** تاريخ التسلم: ٥/٦/٥،٠٠ تاريخ القبول: ۲۰۰۷/۷/۸

الخلاصة

يتضمن البحث تنفيذ تحليلات وحسابات الانبعاج الجانبي على صفائح مربعة ومستطيلة تحتوي على ثقوب مركزية وتحت احمال ضغطية احادية المحور، تم اختيار نوعين من الثقوب هما، الدائرية والمربعة، تم استخدام سبيكة الالمنيوم AL-2024T3 في الاختبارات وذلك لاستخداماتها الواسعة في صناعة هياكل الطائرات.

استخدمت تقنية التحليل الهيكلى بالعناصر المحددة لدراسة تأثير كل من طريقة تثبيت الصفائح، نسبة النحافة للصفائح، ابعاد وشكل الثقوب على مواصفات الانبعاج في الصفائح المتقبة. تم استخدام البرنامج ANSYS لتنفيذ الحسابات، فاظهرت الصفائح المربعة ذات الثقوب الدائرية والمربعة انخفاضاً في مقاومة الانبعاج الحرجة كلما ازدادت ابعاد الثقوب، وعلى عكس ما كان متوقعا اظهرت الصفائح المستطيلة سلوكا شاذاً وهو زيادة في مقاومة الانبعاج كلما ازدادت ابعاد الثقوب ان شكل الانبعاج الطولى الناتج لم يكن ثابتا فمرة يكون متناظراً ومرة يكون غير متناظر بسبب الاعتماد على طريقة تتبيت الصفائح ونسبة النحافة وابعاد الثقب.

تم اجراء مقارنة بين الثقوب المركزية الدائرية والمربعة (المتساوية المساحة) بخصوص مقاومة ألانبعاج الحرجة (في صفائح متساوية المساحة) وتبين ان مقاومة الانبعاج الحرجة فى الصفائح ذات الثقوب المربعة تكون اكبر قليلا من مقاومة الانبعاج فى الصفائح ذات الثقوب الدائرية عندما يكون حجم الثقب متوسطاً، والعكس يكون صحيحاً عندما تصبح هذه الثقوب

An Investigation of Elastic Buckling for Perforated Plates In Aircraft **Structure**

Abstract

The present work performs mechanical buckling analyses on square and rectangular plates with central cutouts under uniaxial compressive load. The cutouts were either circular or square holes. The material of plates was the widely used in aircraft structures i.e. Al-2024 T_3 aluminum alloy. The finite element structure analysis technique was used to study the effects of plate support conditions, plate aspect ratio, hole geometry, and hole shape on the buckling characteristics of the perforated plates. The well- known finite element structural ANSYS program was used to perform the calculations. Square plates with circular and square cutouts showed decays in buckling strengths as the hole sizes were increased. On the other hand, rectangular plates unexpectedly exhibited an anomalous behavior when their buckling strengths enhanced as the holes were enlarged. The plate buckling mode shape could be symmetrical or anti-symmetrical, depending on the plate boundary conditions, aspect ratio and the hole size. For the same cutouts areas, the buckling strengths of the same sized plates with square holes,

^{*} خبير وزارة التربية / التعليم المهني ** ماجستير هندسة ميكانيك *** قسم التعليم التكنلوجي / الجامعة التكنولوجية

slightly, overcome those of the plates with circular holes for moderate hole sizes. The buckling strengths of the latter cases, however, surpass those of the former cases when holes are large.

وحدة القياس	المعنى	الرمز	ت
mm	طول الصفيحة	a	١
mm	عرض الصفيحة	b	۲
mm	طول ضلع الثقب المربع	С	٣
mm	قطر الثقب الدائري	d	ź
N.m	الجساءة الانثنائية للصفيحة	D	٥
Mpa	معامل مرونة الصفيحة	E	٦
Mpa	معامل قص الصفيحة	G	٧
-	المعامل الحرج لانبعاج المرونة	Kc	٨
-	نسبة بويسون	u	٩
mm	سمك الصفيحة	t	١.
Mpa	إجهاد الانبعاج الحرج	Sc	11
-	عدد أنصاف الموجات في الاتجاه الطولى	m	17

١ - المقدمة

تستخدم عادة في هياكل مركبات الفضاء الجوى (Aerospace) فتحات (derospace) كمناطق توصيل لمنظومات كهربائيه او ميكانيكيه او لتقليل الوزن واكثر اشكال هذه الفتحات النموذجيه شيوعا هي الدائريـــه او المربعه. يتم اختبار الالواح التركيبيــه المحتويه على فتحات بواسطه احمال ضغطیه عاده والتی تستخدم اما بطریقه میکانیکیه او حراریه فتسبب فی انبعاج اللوح ، اذن سلوك انبعاج الصفائح الرقيق المحتويه على فتحات يجب ان يفهم بشكل تام عند تصميم الهياكل . تشكل الفتحات الموجوده في اجنحه الطائره الحربيه وتركيبة مجموعه الذيل واحده من المشاكل المعقده التي تواجه المصمم بسبب تركيز الاجهاد الموضعي الناتج من وجود هذه الفتحات . يمكن الحصول على عدد من الحلول الجزئيه المفيدة للمشكله عن طريق تحليل سلوك الاجهاد تحت تحميل محوري او قصيى لصفيحه ذات عسوارض (stringer) او مقواة بشكل متكامل .كما يمكن الحصول بسهولة على حلول الانبعاج

لشكل مغلق (closed form buckling solution) لصفيحة مستطيلة غير مثقبة ومحدودة الابعاد بتاثير ضغط منتظم ، لان مجال اجهاد الانبعاج الاولى يكون منتظم في كل مكان من الصفيحة .

اما في حالة صفيحة مستطيلة محدودة الابعاد مثقبة بفتحات مركزية بثقوب دائرية او مربعة فان تحليل الانبعاج يصبح معقدا بشكل كبير جدا لان هذه الفتحات تدخل حدودا حرة للتحميل والتي تسبب في مجال اجهاد غير منتظم في هذه الصفيحة المثقبة

أذن حلول الأنبعاج لشكل مغلق بالصورة العملية غير ممكن ويجب أيجاد طرق تقريبية مختلفة لتحليل مثل هذه الصفائح المثقبة وموضوع الانبعاج لصفائح مستوية ذات ثقوب مركزية لم يتم انجازه نظرياً وسبب ذلك يعود لتعقيد مجال الإجهاد.

 ٢ - البحوث السابقة أستخدم أغلب الباحثون السابقون طرق (Rayleigh - Ritz) للطاقة القليلة والتي حددت للثقوب صغيرة الحجم

تحقق من الانبعاج المرن لصفائح مثقبة في هياكل الطائرات

اصفائح فو الاذية مستطيلة تحتوي على فتحات مركزية دائرية ومربعة ، واستخدم طريقة تحليل التركيب بــ (F.E) ، لقياس تأثيرات: شروط تثبيت الصفيحة ، نسبة النحافة، شكل الثقب وحجمه على مقاومة الانبعاج الحرارية والميكانيكية في صفائح مثقبة . واستنتج بان مقاومة الانبعاج الصفائح يمكن ان ترداد بشكل المعينة ونسب النحافة للصفيح فقط . والحظ المعينة ونسب النحافة للصفيح فقط . والحظ يمكن ان يكون متناظرا او غير متاظر يمكن ان يكون متناظرا او غير متاظر بالاعتماد على شروط الحدود المتاخمة بالاعتماد على شروط الحدود المتاخمة بالاعتماد على شروط الحدود المتاخمة الشقب .

امــــا المصـــادر [۱،۱۰۱،۲،۱۲،۱۲،۱۲،۱۱،۱۰۱] فهــــی تمثل نماذجاً لاصدارات جديدة في مجال مميزات الانبعاج لصفائح مثقبة ، وتقريب جميع هذه المصادر استخدمت تقنية (F.E) ، وهذه هي اشارة قوية على الاستعمال المتزايد لهذه التقنية كاداة فعالة جدا في حساب احمال الانبعاجات وانماط الانبعاج المناظرة لها (mode shape) وكما تم ذكره الان ، فان اغلب تحليلات الانبعاج النظرية السابقة لصفائح مثقبة ، اعتبرت بشكل رئيسي ، الصفائح المربعة تحت شروط حدود التثبيت بسيطة وحجوم الثقوب الصغيرة هي لتقليل التعقيدات الرياضية ، وبطريقة مماثلة فان اغلب الدراسات العملية السابقة على صفائح مثقبة ، قد حددت الصفائح المربعة و تحت شروط حدود تثبيت لبسيطة وذلك لإيجاد نتائج نظرية للمقارنة مع بيانات التجارب معها ، اما توجه العمل الحالى فهو باتجاه استعمال طريقة (F.E) كاداة فعالـة فـى التحليـل الهيكلي للمشكلة.

T _ وصف المشكلة Description of the problem

العمل الحالي هو دراسة تاثير التنقيب على مميزات الانبعاج لالواح صفائح رقيقة مستطيلة ومريعة الشكل محدودة الأبعاد كما في الشكل (١) ابعد في الشكل (١) ابعد

والحالات قليلة الأحمال لأن توزيع الاجهاد في صفيحة مثقبة غير محدودة الأبعاد هي التي تستخدم كحل لإيجاد أجهاد الانبعاج الأولى في صفيحة مثقبة محددة الأبعاد. ان أغلب الأعمال السابقة هي غير ملائمة لدراسة تأثير الشروط المختلفة لحدود الصفيحة على مقاومة الأنبعاج لصفائح محددة الأبعاد تحتوي على ثقوب أعتباطية الحجم.

أستخدم Rayleigh [7] طريقة (—Ritz التحليل سلوك الأنبعاج لصفيحة مربعة ذات ثقب دائري و مثبتة بصورة بسيطة (simply supported) ومعرضة إلى أزاحات الحافة المنظمة (displacements) مع ثلاث دوال أزاحية اعتباطية، وتم حساب إزاحات الأنبعاج شمحسبت أحمال الأنبعاج بأستخدام علاقة الإجهاد – الانفعال حصل كل من Ritchie وهي ان سلوك الانبعاج في صفائح وهي ان سلوك الانبعاج في صفائح مستطيلة مثقبة ، وقاما بدمج تقنية * في صفائح مربعة مثقبة ، وقاما بدمج تقنية * (Rayleigh-Ritz) مع طريقة تكون دقيقة مع الثقوب الصغيرة فقط الناتجة تكون دقيقة مع الثقوب الصغيرة فقط

آختبـر Kawai & Ohtsubo [٤] صــفائح مربعة مثقبة باستعمال طريقة (Ritz ___ Rayleigh) وباستخدام اجهاد انبعاج اولى مستخرج بواسطة تقنية *(F.E) ، وقد اختصرت كمية الحسابات الرقمية بتحويل التكاملات المزدوجة بطريقة الطاقة لكل عنصر محدد الى تكاملات خطية حول حدود العنصر باستعمال نظريـة (Gauss) المعروفة جيدا . قام Nemeth [٥-٨]بتحليل السلوك لصفائح مربعة مثقبة ، واشارت النتائج العملية والتحليلية ، بان زيادة حجم الثقب ربما لايقلل دائما من حمل الانبعاج [٧] . استعمل Lee [٩]تقنية العناصر المحدودة (F.E) واختبر سلوك الانبعاج لصفيحة مربعة تحتوي على ثقب دائري مركزي ، لكن بحثه كان محددا على الثقوب الصخيرة فقط . درس William [١]سلوك الانبعاج الحراري والميكانيكي

صفائح مستطيلة مثقبة متنوعة استخدمت في البحث الحالي حيث يرمز لطول الصفائح ب (a) ملم وعرضها (b) ملم وسمكها (t) ملم والفتحة المركزية التي فيها هي اما ثقب دائري بقطر (b) ملم او ثقب مربع طول ضلعه (c) ملم .

تحقق من الانبعاج المرن لصفائح مثقبة في هياكل الطائرات

والملاحظ بأنه في جميع الحالات تكون قيمتا العرض والسمك ثابنتان وهــــما b = 100mm

جدول (١) أبعاد الصفائح المثقبة والمستعملة في البحث

Thickness(t)mm	a/b	d/b	c/b
1.0	1.0	0 - 0.70	0 - 0.70
1.0	1.5	0 - 0.70	0 - 0.70
1.0	2.0	0 - 0.70	0 - 0.70
	1.0	1.0 1.0 1.0 1.5	1.0 1.0 0 - 0.70 1.0 1.5 0 - 0.70

في الجدول السابق (١) يعني المدى (-0 (0.70) الحالات الأتيات الآتيات (0.70 (0.30،0.25،0.20،0.15،0.10،0.05،0.0) (0.65،0.60،0.55،0.50،0.45،0.40،0.35 (0.70) وفيما يخص نسب نحافة الصفائح (Aspect ratio) المعطاة أعاده فأن حالات حجوم الثقوب الخمسة عشر سوف تعطينا خمسة عشر نقطة لرسم كل منحني انبعاج لاحقا ولمخططات بيانية بين أجهاد الانبعاج الحرج مقابل النسب (d/b) أو (c/b).

والحمل الذي سوف يسلط على الألواح هو حمل انضغاطي احادي المحور وطرفي unloaded edges الصفيحة غير المحملتين هما غير مقيدتان بحركات عرضية من داخل المستوى (transverse in- plane motions) وكما موضحة في الشكل (٢) . إن الأطراف الأربعة للصفائح المثقبة تثبت أما بشكل بسيط (simply supported) أو بشكل محكم (clamped Supported) و boundary) الشروط المتاخمة conditions) للحالتين ماخوذة بنظر الاعتبار في التحليل وكما يلي :___ ١ ___ أطراف (حافات) الصفيحة الأربع مثبتة بشكل بسيط : يمكن لحافتي الجانبين أن ينزلقا بحرية على امتداد أدلة التثبيت المزيتة ، والتي لها حرية الحركة داخل المستوى (Free In-plane motions) وكما في الشكل (٣-أ)

أطراف (حافات) الصفيحة الأربع مثبتة بشكل محكم: يمكن لحافتي الجانبين أن ينزلقا بحرية على امتداد أدلة التثبيت المزيتة والتي لها حرية الحركة داخل المستوى كما في الشكل (٣-ب).
 المستوى كما في الشكل (٣-ب).
 المتخدم برنامجا معروفا وهو (ANSYS)
 تحليل ودراسة الحالات أعلاه . وبسبب لتماثل ، تم نمذجة نصف الصفيحة المثقبة المثقبة فقط بغشاء مرن [١٧] وقد اختير حجم الشبكة (mesh) بعد عدة محاولات وتم الحصول على الحجم المناسب لها بحيث

ع <u>اهداف البحث</u> <u>present work</u>:

أعطت الشبكة الأدق نفس النتائج تقريبا.

الهدف الأساسي من البحث الحالي هو در اسة الانبعاج المرن لصفائح مثقبة (بنقوب مركزية دائرية او مربعة) باستعمال نقنية العناصر المحددة والبرنامج (ANSYS) وسوف يشتمل التحليل على ايجاد اول نمطين حرجين للانبعاج (two critical modes of buckling eigen) لاجهادالانبعاج وشكل (نمط) الانبعاج .

كما سيدرس تاثير تغير حجم الثقب وبنسب نحافة (aspect rations) مختلفة للصفائح . وستعاد نفس الحسابات على حالتين

مختلفتين من شروط الحدود المتاخمة اللتان هما :

- تثبیت بسیط لجوانب الصفیحة .
- ٢) تثبيت محكم لجوانب الصفيحة .

وستقارن النتائج مع نتائج بحوث سابقة ، حيث إن الحلول النظرية غير موجودة بسبب تعقيد مجال الاجهاد .

ه <u>اختيار حالات للدراسة selection</u> of study cases <u>:</u>

كما تم ذكره سابقا فان الهدف الاساس من البحث الحالي هو دراسة تاثير عمل ثقب في وسط صفيحة رقيقة على مقاومة الانبعاج الحرج او لا وعلى شكل (نمط) الانبعاج المناظر لها ثانيا ، لذا فمن الضروري ان نحدد العوامل (Factors) التي تؤثر على كلا من اجهاد الانبعاج وعلى شكل (نمط) الانبعاج لصفيحة غير وعلى شكل (نمط) الانبعاج لصفيحة غير التي تسيطر على قيمة اجهاد الانبعاج الحرج .

إن المعادلة الأساسية للانبعاج الحرج [٣] هي كما يلي :_

بعبارة أخرى فان المعادلة (١) تبين بان بعبارة أخرى فان المعادلة (١) تبين بان σ_{cr}) يعتمد على قيم (σ_{cr}) كافبالنسبة للمواد المتجانسة الخواص والمشابهة للمادة المستعملة في البحث الحالى فان قيم (υ ,E) تكون ثابتة. اما اذا

تحقق من الانبعاج المرن لصفائح مثقبة في هياكل الطائرات

بقيت قيمتي (t_{c}) نفسها في جميع النماذج فان قيمة (σ_{cr}) ستعتمد على قيمة (K_{c}) فقط ومع ذلك فان قيمة (K_{c}) تعتمد على قيمة نسبة النحافة للصفيحة (a/b) وعلى محددات الحدود المتاخمة [8,7]. وفي الحقيقة ان شكل (نمط)الانبعاج يعتمد ايضاعلى نسبة نحافة الصفيحة وعلى شروط الحدود المتاخمة [1] وبالنتيجة فان اختيار حالات للدراسة (study cases) يعتمد على اربع متغيرات هي:

ا سبة نحافة اللوح (a/b).

٢ ___ شروط الحدود المتاخمة .

٣ ___ شكل الثقب.

٤ ___ حجم الثقب.

إن وصف حالة الدراسة الحالية قد لخصت كلها في الجدول (٢) الذي يبين (١٢) حالة رئيسية وكل واحدة من هذه الحالات تتضمن (١٥) قراءة (run) ناتجة من التغير في احجام الثقوب، وتكون النتيجة باستخدام البرنامج (ANSYS) (١٨٠) (١٨٠) وخلال كل (run) ، تم استخراج اول نمط متناظر حرج ، واول نمط غير متاظر حرج من اجل دراسة تاثير الثقب على نمط الانبعاج الحرج .

جدول (٢) ملخص الحالات التي ستدرس في البحث بحسابات رقمية

No.	Plate aspect	Hole shape	Boundary condition	Range of hole size
	ratio			(d/b) or (c/b)
١	1.0	Circular	Simply – supported	• ~0.7
۲	1,0	Circular	Simply – supported	• ~0.7
٣	۲,٠	Circular	Simply – supported	• ~0.7
٤	١,٠	Circular	Clamped	• ~0.7
0	1,0	Circular	Clamped	• ~0.7
٦	۲,٠	Circular	Clamped	• ~0.7
Y	١,٠	Square	Simply – supported	• ~0.7
٨	1,0	Square	Simply – supported	• ~0.7
٩	۲,٠	Square	Simply – supported	• ~0.7
١.	١,٠	Square	Clamped	• ~0.7

تحقق من الانبعاج المرن لصفائح مثقبة في هياكل الطائرات

إن (m) تمثل عدد انصاف الموجات في الاتجاء الطولى التي تجعل مقاومة الانبعاج

الحرج اقل مايمكن . والجدول (٣) يضم قيم

محسوبة نظريا لاجهاد الانبعاج الحرج باستخدام المعادلتين (١) و(٢) ويبين

صلاحية وكفاية النمذجة باستعمال (F.E)

ونلاحظ ان اجهادات الانبعاج تكون اقل كثيرا من اجهاد خضوع المادة لذا فانها

تكون ضمن المنطقة المرنة للمادة المقصودة

في هذا البحث .

11	1,0	Square	Clamped	• ~0.7
١٢	۲,٠	Square	Clamped	• ~0.7

T ___ دقة الحل ___ Solution Accuracy قبل أن نتابع حسابات ألبحث الحالي ، من الاهمية ان نقحص دقة الحلول الرقمية .لذا فان حلول الانبعاج باستخدام العناصر المحددة لصفائح غير مثقبة ومثبتة بصورة بسيطة ولثلاث نسب نحافة مختلفة للصفائح وباستخدام الضغط الاحادي المحور ، قد ورنت مع حلول انبعاج تقليدية مناظرة والتي تعتمد على استعمال المعادلتين(١) و (٢) و ذلك بتعويض القيم آلاتية لسبيكة المنيوم (7) و (7) (8) (7)

E=73.774 Gpa, $\upsilon=0.3$, $\delta_y=255$ MPa

$$K_c = \frac{b^2}{a^2} \left(m + 1/m \frac{a^2}{b^2} \right)^2$$
 (2)

جدول رقم ($^{\circ}$) مقارنة بين نتائج ($^{\circ}$ $_{\circ}$) المحسوبة بطريقة رقمية مع تلك المحسوبة نظريا لصفائح غير مثقبة ومثبتة بصورة بسيطة

	V 1 3 1 3 1 3 1				
No.	Aspect	Buckling mode	K _c	Numerical Value of	Theoretical Value
	Ratio			$\sigma_{cr.}$ Mpa	of $\sigma_{cr.}$ Mpa
	(a/b)				
1	1.0	Symmetrical	4.0	26.656	26.671
2	1.5	Antisymmetrical	4.34	28.908	28.940
3	2.0	Antisymmetrical	4.0	26.64	26.671

وجد (Nemeth) [٥،٥] طوال در استه على هذا الموضوع نفس السلوك العام في المواد المتعامدة الخواص orthotropic وعند اجراء مقارنة نوعية بين البحث الحالي وبحث وليم ، يجب او لا ان نقوم بتحويل قيم الانبعاج الحرجة للامالي ويعود السبب في ذلك الى الاختلاف في طبيعة المواد المستعملة وابعاد الصفائح وتعتمد عملية التحويل هذه على معادلة الانبعاج الرئيسية رقم (١) وكما موضح

$\left(\mathbf{s}_{cr}\right)_{w} = \frac{K_{c}p^{2}Ew}{12\left(1-v^{2}\right)}\left(\frac{t}{b}\right)_{w}^{2}$	(3)
$(\mathbf{s}_{cr})_{Epw} = \frac{K_c p^2 E_{Epw}}{12(1-v^2)} \left(\frac{t}{b}\right)_{Epw}^2$	(4)

حيث تشير $_{\rm W}()$ و $_{\rm Epw}$) الى بحث وليم و الى القيم المكافئة لها من البحث الحالي على التوالي و عند قسمة المعادلة (٤) على المعادلة (٣) ينتج

تحقق من الانبعاج المرن لصفائح مثقبة في هياكل الطائرات

وباستعمال المعادلة (٦) حولت القراءات المأخوذة من بحث وليم لصفيحة ذات نسبة نحافة (1= a/b) ومثبته بصورة بسيطة ولها شكل متناظر ومحتوية على ثقب دائري مركزي الى ما يكافئها من قيم جديدة في البحث الحالي وكما موضحة في الجدول (٥) ويبين الجدول (٥) التقارب بين نتائج البحثين بالرغم من اختلاف نوعية المواد المستعملة وابعادهما.

$$\frac{\left(\mathbf{s}_{cr}\right)_{Epw}}{\left(\mathbf{s}_{cr}\right)_{w}} = \frac{\left(E\left(\frac{t}{b}\right)^{2}\right)_{Epw}}{\left(E\left(\frac{t}{b}\right)^{2}\right)_{w}} \tag{5}$$

 $(\mathbf{s}_{cr})_{Epw} = (\mathbf{s}_{cr})_{w} \times 2.71$ (6)

جدول رقم (\circ) مقارنة بين نتائج البحث الحالي ونتائج بحث وليم بالنسبة لصفائح مربعة مثبتة بصورة بسيطة ومتناظرة ونسبة النحافة a/b=1

Hole size (d/b)	William's values (σ _{cr.}) _w /Mpa	Converted Values $(\sigma_{cr.})_{pw}/Mpa$	Present work values (σ _{cr.)pw} /Mpa
•	10.04	26.86	26.65
0.1	9.69	25.92	25.60
0.2	8.83	23.62	23.44
0.3	8.03	21.48	21.52
0.4	7.61	20.36	20.21
0.5	7.27	19.45	19.37
0.6	6.9	18.46	18.78
0.7	6.9	18.46	18.27

- 1) Symmetrical mode for simply supported sides .
- 2) Anti symmetrical mode for simply supported sides .
- 3) Symmetrical mode for clamped sides .
- 4) Anti symmetrical mode for clamped sides .

وتحت كل شكل من الاشكال اعلاه، وضعت اشكال (انماط) الانبعاج الحرجة وضعت اشكال (انماط) الانبعاج الحرجة المناظرة لها، وإن صور الأشكال فان النتائج التي تم الحصول عليها بالنسبة لصفائح مثقبة بثقوب دائرية والنتائج المناظرة لها لصفائح مثقبة بثقوب مربعة رسمت على مخطط بياني واحد من اجل المقارنة بينهما ، ولجعل ذلك ممكنا فانه يجب توحيد المحور السيني لنوعي الثقبين عن طريق مساواة مساحتيها وفق العلاقة

۷ — عرض النتائج Presentation of Results

بدأت طريقة الحل بنمذجة الشكل الخارجي للمشكلة ، ثم تم تخطيط النموذج شبكيا بواسطة البرنامج (matlab) وعرضت النتائج بشكل رسومات في الأشكال (14,12,10,8,6,4) وباستعمال البرنامج (matlab) الذي يعطينا تسهيلات ممتازة في رسم المخططات البيانية . يبين كل شكل من الاشكال اعلاه ، اجهاد وبالذات مع شكل الثقب ونسبة النحافة وبالذات مع شكل الثقب ونسبة النحافة مختلفة ايضا مؤدية الى اربعة منحنيات مختلفة ايضا مؤدية الى اربعة منحنيات متناظرة ووفقا للاتى :—

$$C^2 = \frac{pd^2}{4} \Longrightarrow \frac{d}{b} = \frac{2c}{\sqrt{pb}} \tag{7}$$

تحقق من الانبعاج المرن لصفائح مثقبة في هياكل الطائرات

بالشاذ لان القارئ يتوقع ان يرى تضائل مستمر في مقاومة انبعاج الالواح عندما يصبح حجم الثقب اكبر في حين يحدث العكس وهذا واضح في الاشكال (٨) (١٠) (۱۲) (۱۶) وكما تم التاكيد عليه مسبقاً فان مميزات الانبعاج لصفيحة غير مثقبة تختلف بصورة جو هرية عن تلك المميزات لصفيحة مثقبة، ففي الصفائح غير المثقبة يكون مجال الاجهاد قد حدد بشكل تام قبل الانبعاج ووفقأ للتماثل والاستمرارية في المقطع العرضي للصفيحة ' أما مجال الإجهاد قبل الانبعاج في الصفائح المثقبة فهو غير معروف وذلك نسبة الى وجود حافات حرة للثقوب في وسط الصفيحة لذا فالنظري (theoretical solution) للمشكلة غير ممكنه وهذا هو السبب في استخدام طريقة العناصر المحددة في الحل.

تظهر الأشكال (15,13,11,9,7,5) التغير في اشكال الانبعاج عند زيادة حجم الثقب تحت تاثير نفس شروط الحدود المتاخمة (boundary conditions) ونسب النحافة، وهذه الاشكال سوف تستخدم في تغير العلاقة المترابطة بين مقاومة الانبعاج المناظر له في كل حالة من الحالات ومن خلال ملاحظة دقيقة للاشكال المذكورة اعلاه يمكن الاشارة الى حقيقة وهي ان شكل (نمط) الإنبعاج يتكون من أسلوبين:

۱.شکل أو نمط شامل Global
 مسلمی به جد علی کامل mode

mode و هو الذي يوجد على كامل مساحة الصفيحة .

٢. شكل أو نمط موضعي local وهو الذي يوجد في منطقة مجاورة من حافات الثقب .

ويمكن الإشارة الى هذه الملاحظة في حالات النقصان في مقاومة الانبعاج الحرجة عند زيادة حجم الثقب في حالات الصفائح المربعة مثلا عندما (a/b= 1) الثقب في مقاومة الانبعاج عند زيادة حجم الثقب في حالات الصفائح المستطيلة مثلا عندما (a/b= 1.5,2.0) ويكون الاسلوب الشامل هو المسيطر في حالات الصفائح المسامل هو المسيطر في حالات الصفائح

حيث أن C: طول ضلع الثقب المربع في الصفيحة

و استخدمت المعادلة (٧) في تحويل المحور الافقي الممثل بـ (c/b) للاشكال (ط/b) للاشكال وهي مدونة في الجدول (٤). ووفقاً لهذا الجدول ، فقد رسمت منحنيات جديدة لاجهاد الانبعاج الحرج لصفائح مثقبة بثقوب دائرية واخرى مربعة وكما في الشكلين (١٨،١٦) الحرجة الاولى فقط ، ويجب ان يلاحظ بعد تطبيق المعادلة (٧) ان معطيات المحور تطبيق المعادلة (٧) ان معطيات المحور زحفت الى اليمين وكما هـ و واضح فـ واضح فـ واضكين (١٨،١٦).

جدول (٤) تحویل قیم (c/b)) الی ما یکافئها من قیم (d/b) باستخدام المعادلة($^{(V)}$)

c/b	d/b	c/b	d/b
0.00	•,•••	0.40	.,201.
0.05	٠,٠٥٦٥	.,٤0	.,0.70
0.10	٠,١١٣٠	.,0.	٠,٥٦٤٠
0.15	1,1790	•,00	۰,٦٢.٥
0.20	٠,٢٢٦.	٠,٦٠	٠,٦٧٧٠
0.25	٠,٢٨٢٥	٠,٦٥	۰,۷۳۳٥
0.30	٠,٣٣٩٠	٠,٧٠	٠,٧٩٠٠
0.35	٠,٣٩٩٥		

8 -مناقشة النتائج

جاءت نتائج الصفائح المربعة ذات الثقوب الدائرية او المربعة بانسجام جيد مع ما كان متوقعا وهو تضاءل مقاومة الانبعاج الحرجة مع زيادة حجم الثقب. وخلافا للمتوقع فان مقاومة الانبعاج الحرجة للمتوقع فان مقاومة الانبعاج الحرجة وجود ثقوب مركزية فيها وهذا واضح تماما عند نسبتي النحافة (٥,١ و ٢٠٠) ولغرض وضع تفسير مقنع لهذا السلوك الشاذ يجب ان ناخذ بنظر الاعتبار بشكل مهم جدا العلاقة المترابطة Inter-relation بين إجهاد الانبعاج الحرج وشكل (نمط) الانبعاج المناظر له ويوصف هذا السلوك

تحقق من الانبعاج المرن لصفائح مثقبة في هي المائرات

المثبته بشكل بسيط . رسمت الاشكال (١٨،١٦) لإجراء مقارنة بين نتائج الصفائح المربعة المثقبة بثقوب دائرية وأخرى بثقوب مربعة فبالنسبة للحالات التي تحتوي على ثقوب مربعة كما في الشكل (١٦) فهي أكثر فعالية على كل مدى حجوم الثقوب المأخوذة بنظر الاعتبار والتي تعطي دائما قيما عالية من اجهادات الانبعاج.

أما بالنسبة للشكلين (١٨،١٧) فهما يمــثلان سلوكا مختلفا لحالات الصفائح المســتطيلة والمربعة فالمنحنيات متداخلة (متشابكة) مع بعضها في حالة الثقوب صغيرة الحجم شم تبدأ منحنيات الثقوب المربعة بالارتفاع الى الاعلى عند حجوم الثقوب المعتدلة القياس (ح.0- 0.4 = 0.4) وبعد هذا المــدى تُظهّر منحنيات الثقوب الدائرية قيما اعلى مــن مقاومة الانبعاج الحرجة، ومرة اخرى تقدم الحدود المثبتة باحكام السلوك الموصــوف سابقا وبصورة اكثر وضوحا وعند النظـر للنتائج قبل تحويل (c/b) الــى (d/b) فــان حالات الثقوب المربعة تتتج مقاومات انبعاج اعلى دائما.

الصفائح الرقيقة .

ا بصورة عامة تنقص مقاومة الانبعاج عندما يزداد حجم الثقب في حالة الصفائح المربعة الموحدة الخواص .

٢ __ خلافا للتوقعات ، فان مقاومة
 الانبعاج تزداد عندما يزداد حجم الثقب
 في حالة الصفائح المستطيلة وهذا
 السلوك يوصف بالشاذ .

٣ — تعرض الصفائح المثقبة شكلي الانبعاج الشامل والموضعي معا (في وتكون سيطرة احد الشكلين على الأخر هي التي تحدد قيمة مقاومة الانبعاج الحرجة ونوع شكل الانبعاج; رمتناظر او غير متناظر].

ك مقاومة الانبعاج للصفائح المربعة ذات الثقوب المربعة هي اعلى دائما

المربعة, أما الأسلوب الموضعي فهو مهمل تقريبا بسبب عدم كفاية المجال الحر له في الاتجاه الطولي وتكون حدود الثقب قريبة تماما الى الحدود الخارجية للصفيحة وهذا واضح تماما في الشكلين (7,5) واللذان يبينان بان الانحرافات deflections قد وزعت على كامل الصفيحة حتى بالقرب من جوانبها ومشيرة الى سيطرة اسلوب الانبعاج الشامل. اذن بسبب نقصان المساحة وما يصاحبها من نقصان في عزم القصور الداتي (Second Moment Of Areas) فان مقاومة انبعاج الالواح تتضاءل عندما يتناقص حجم الثقب.

أما فيما يخص الصفائح المستطيلة، فان اسلوب الانبعاج الموضعي يكسون اساسسيأ ومسيطرأ عندما تصبح نسبة نحافة الالواح اكبر. ومرة اخرى تبين الاشكال (15,13,11,9) هذا السلوك ويتركز في المناطق المجاورة الثقوب وتكون الانحرافات القريبة من حافات الصفيحة قليلة حتى في حالات التثبيت البسيطة اسلوبي الانبعاج هذين لغرض الوصول الي الحالة الحرجة لهما نحتاج الى قوة اجهاد (stress) اكبر, ولهذا التفسير معولية جيدة ، فعند النظر الي الشكلين (١٤، ١٢) الخاصين بنسبة النحافة (٢,٠) فان لهما زيادة حادة في مقاومة الانبعاج مقارنة مع الشكلين (10,8) الخاصين بنسبة النحافة (١,٥) وهناك تعزيز اخر لهذا التفسير وهو ان المنحنيات تبدأ بالارتفاع عند حجم الثقب (1,0) في حالات نسبة النحافة (d/b=0.3) في حين تبدأ ذلك عند حجم الثقب (7,0) في حالات نسبة النحافة (d/b=0.2)كما يمكن الاستنتاج مـن الاشـكال (٤-٩) بأن الحدود المثبتة بشكل محكم تسبب تضاءلا حاداً في مقاومة الانبعاج عند نسبة النحافة (a/b=1) او زيادة حادة في المقاومة عند (a/b=1.5, 2.0) مقارنة مـع حـدود الصفيحة المثبتة بشكل بسيط وهذا يمكن تفسيره الى حقيقة ان حالة حدود الصفيحة الأقوى (الحدود المثبتة باحكام) تزيد من مقاومة انبعاج الصفيحة بدلا من الحدود

تحقق من الانبعاج المرن لصفائح مثقبة في هياكل الطائر ات

University, May 1983.

- 6- Nemeth, 'Michael Paul, "A Buckling Analysis For Rectangular Orthotropic Plates with Centrally Located Cutouts", NASA TM-86263, Dec. 1984.
- 7- Nemeth, Michael Paul, Manuel Stein, and Eric R.Johnson, "An Approximate Buckling Analysis for Rectangular Orthotropic Plates with Centrally Located Cutouts", NASA TP-2528, Feb. 1986.
- 8- Nemeth, Michael Paul,
 "Buckling Behavior of
 Compression-Loaded
 Symmetrically Laminated
 Angle-Ply Plates With
 Holes", AIAA Journal, Vol. 26,
 No.3, March 1988.
- 9- Lee, Y.J., Lin H.J. and Lin C.C.,
 "A Study on the Buckling
 Behavior of an Orthotropic
 Square Plate with a Central
 Circular Hole", Composite
 Structures, Vol. 13, No.3, 1989.
- 10- William L.Ko, "Anomalous Buckling Characteristics of Laminated Metal-Matrix Composite Plates with Central Square Holes", NASA TM-1998-206559.
- 11- Yattram and Brown, C.J, "The Elastic Stability of Square Perforated Plates", Computers and Structures, Vol.36, No.6, 1990.
- 12- Brown, C.J, "Elastic Buckling of Perforated Plates Subjected to Concentrated Loads", Computers and Structures, Vol.53, No.53, No.6, 1994.
- 13- Vann W. P., "Compressive Buckling of Perforated Plates", Proceedings of the First Specialty Conference on Cold-Formed Steel Structures, August 1971.

من نظيراتها ذات الثقــوب الدائريــة بالنسبة لجميع حجوم الثقوب وتحــت نفس شروط الحدود المتاخمة .

م تعرض الصفائح المثقبة ذات مميزات الانبعاج الشاذة تطبيق مهم عند تصميم الألواح التركيبية في مركبات الفضاء أي فتح تقوب ذات حجوم مناسبة في تلك الألواح للتقليل من وزنها ومقاومة الانبعاج فيها يمكن أن تحور في وقت واحد .

آل مقاومة الانبعاج للصفائح المستطيلة ذات الثقوب المربعه هي اعلى قليلا منيلاتها ذات الثقوب الدائرية بالنسبة لحجوم الثقوب المتوسطة

(5. .0-0) وتحت نفس شروط الحدود المتاخمة وفي حالة الثقوب الكبيرة التي هي اكبر من (5. 5) فان الاخيرة هي الاكبر .

المصيادر

- 1- William L.Ko, "Mechanical and Thermal Buckling Behavior of Rectangular Plates with Different Central Cutouts", NASA TM-1998-206542.
- 2- Schlack, A.L., Jr., "Elastic Stability of Pierced Square Plates", Experimental Mechanics, 1964.
- 3- Ritchie, D and Rhodes J., "Buckling and Post-Buckling Behavior of Plates with Holes", Aeronautical Quarterly, Vol. 26, Nov. 1975.
- 4- Kawai, T. and Ohtsubo H., "A Method of Solution for the Complicated Buckling Problems of Elastic Plates With Combined Use of Rayleigh-Ritz's Procedure in the Finite Element Method", AFFDL-TR-68-150, 1968.
- 5- Nemeth, Michael Paul,
 "Buckling Behavior of
 Orthotropic Composite Plates
 with Centrally Located Cutouts",
 Ph.D. Dissertation, Virginia
 Polytechnic Institute and State

- تحقق من الانبعاج المرن لصفائح مثقبة في هياكل الطائرات
- 16- El-Sawy, K. and Nazmy, Aly s., "Effect of Aspect Ratio on the Elastic Buckling of Uniaxially Loaded Plates with Eccentric Holes", Journal of Thin-Walled Structures, February 2001.
- 17- "Theory , Analysis, and Element Manuals", ANSYS 5.4 Program
- 18- Bruhn E.F., "Analysis and Design of Flight Vehicle Structures", 1973.
- 19- Therib, Jameel Hussein, "An Investigation of Elastic Buckling for perforated plates in Aircraft structures", A Thesis submitted to Al-Rasheed College of Engineering and Science, University of Technology, 2004.
- 14- Yu W.W. and Davis C.S.,
 "Buckling Behavior and PostBuckling Strength of Perforated
 Stiffened Compression
 Elements", Proceedings of the
 First Specialty Conference on
 Cold-Formed Steel Structures,
 August 1971.
- 15- Jyrki Kesti, "Local and Distortional Buckling of Perforated Steel Wall Studs", Ph.D Dissertation, Helsinki, University of Technology (Espoo, Finland), 2000.

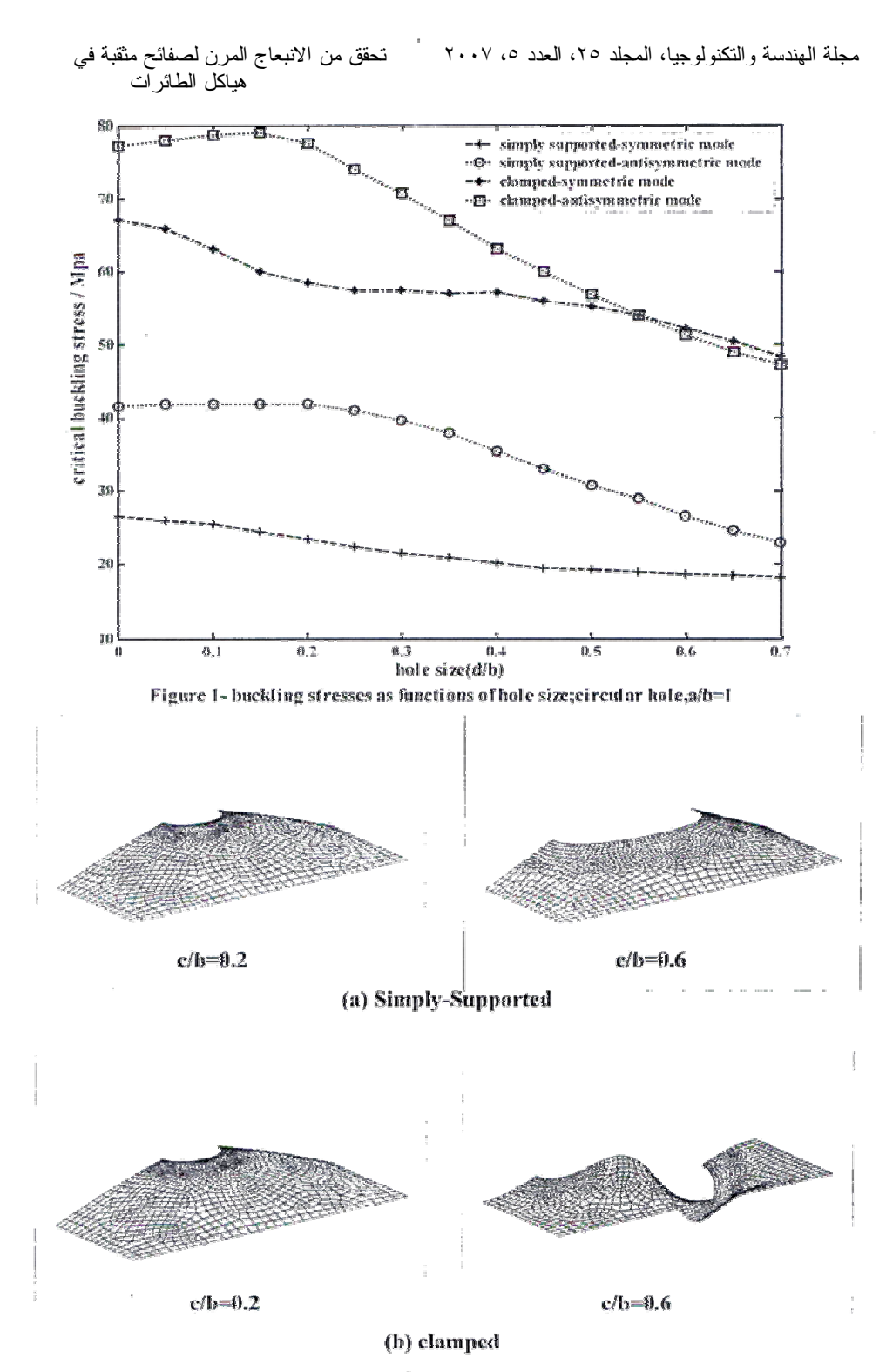


Figure 2-Critical buckled mode shapes of square plates with circular holes; a/b=1

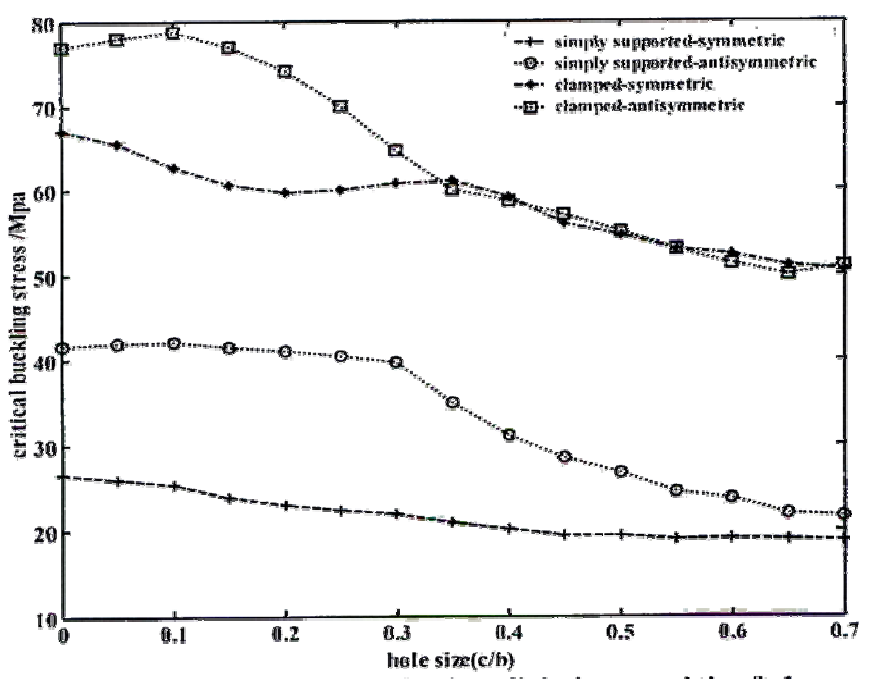


Figure 3- buckling stresses as functions of hole size; square hole; a/b=1

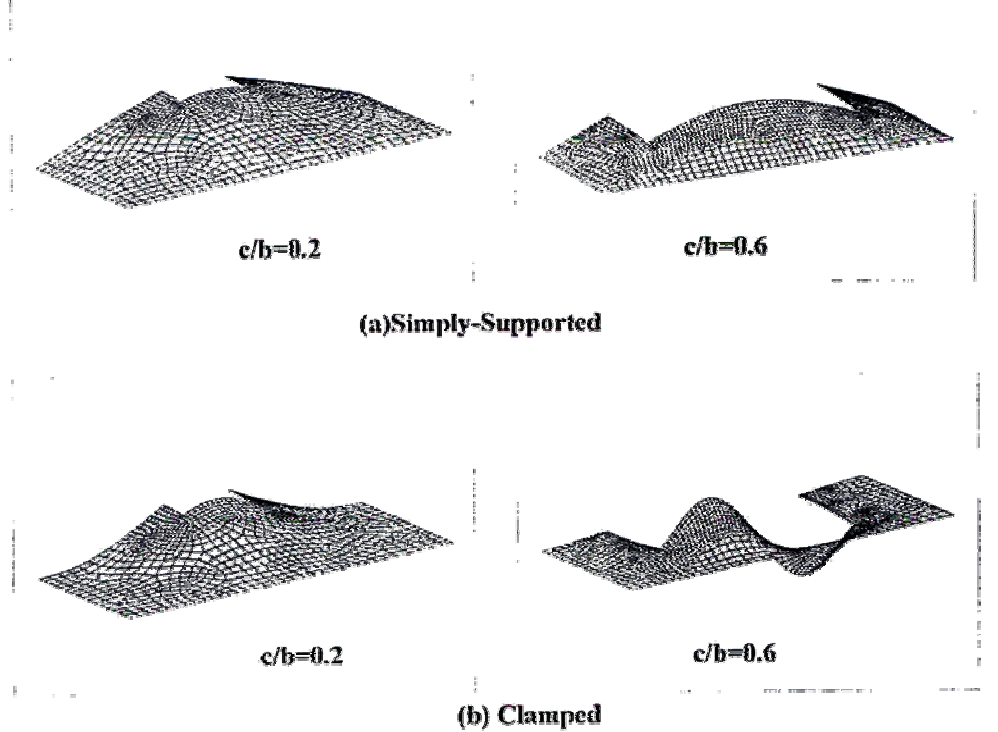


Figure 4-Critical buckled mode shapes of square plates with square holes; a/b=1

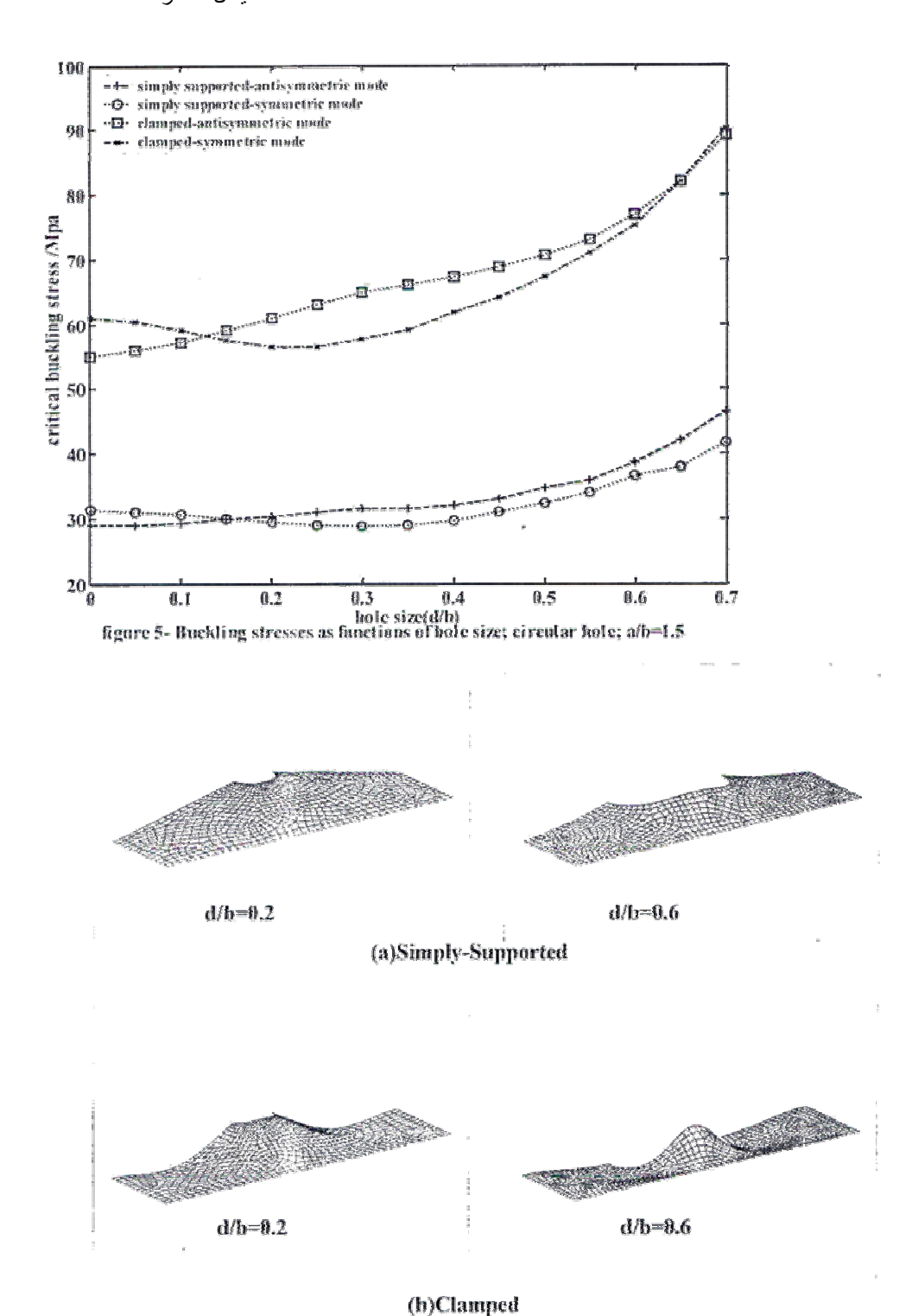


Figure 6-Critical buckled mode shapes of rectangular plates with circular holes; a/b=1.5

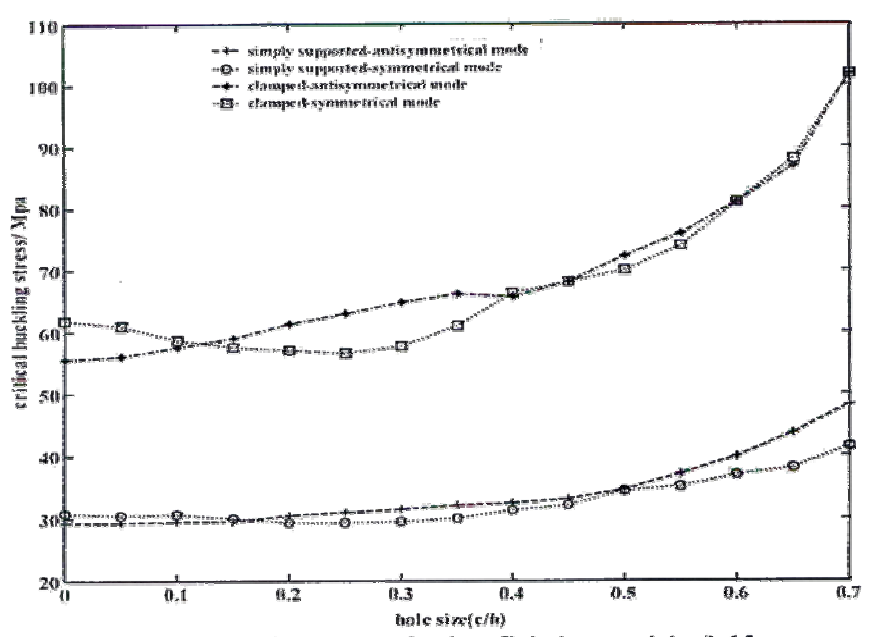


Figure 7- Ruckling setresses as functions of hole size; square bole; a/b=1.5

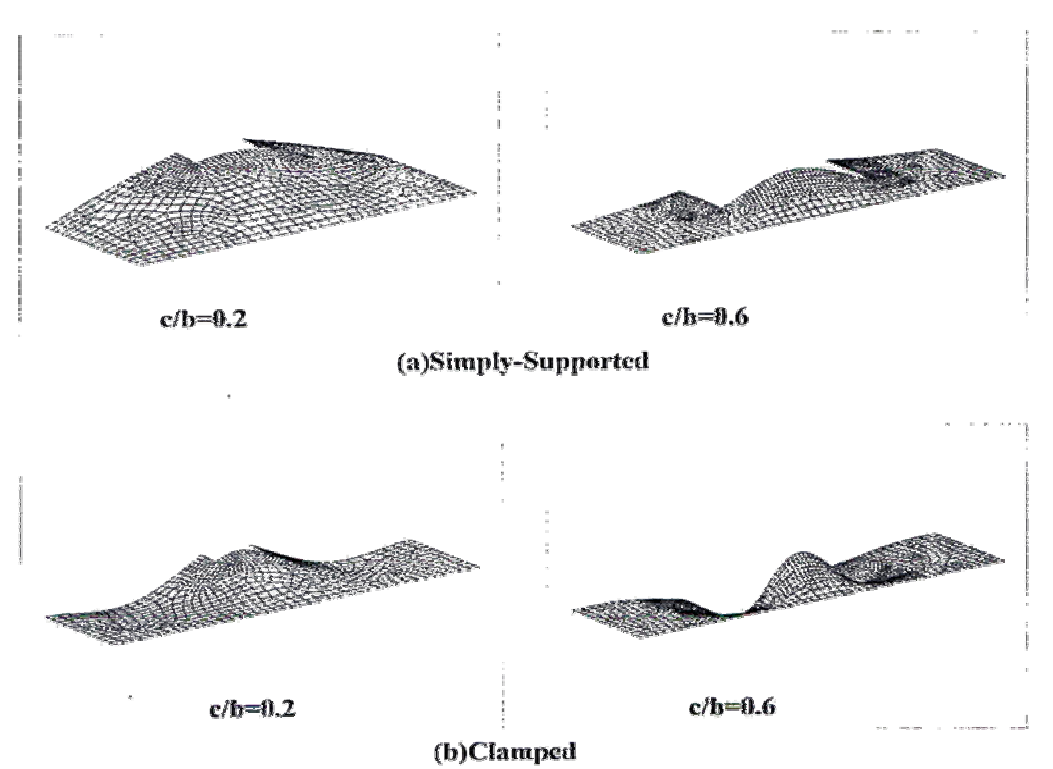
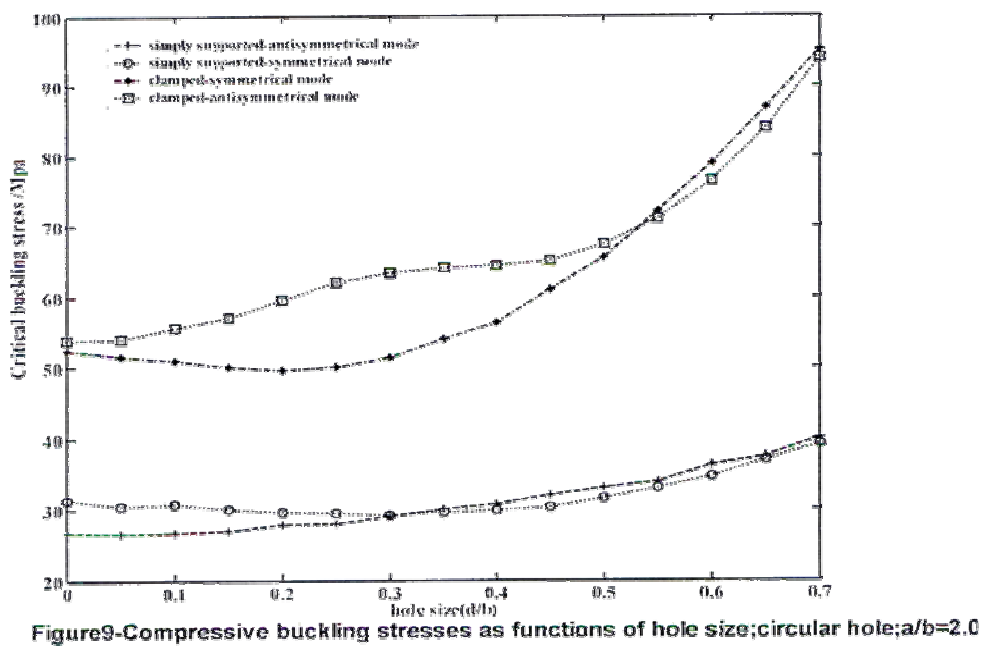


Figure 8-Critical buckled mode shapes of rectangular plates with square holes, a/b=1.5



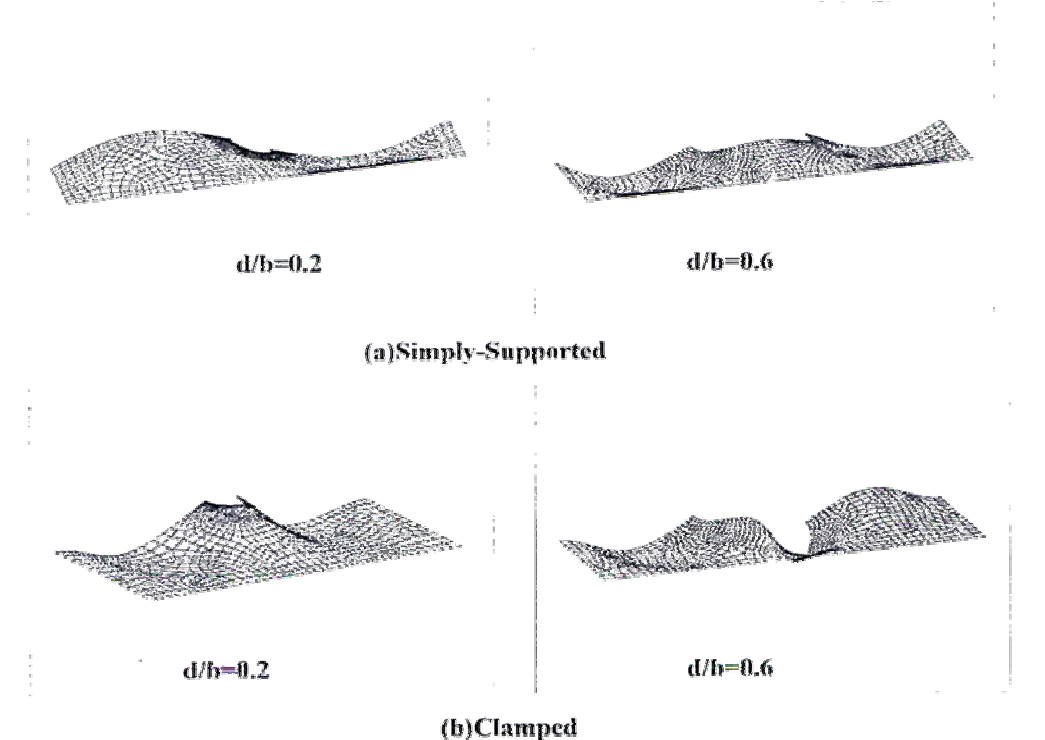


Figure 10-Critical buckled mode shapes of rectangular plates with circular holes; a/b=2

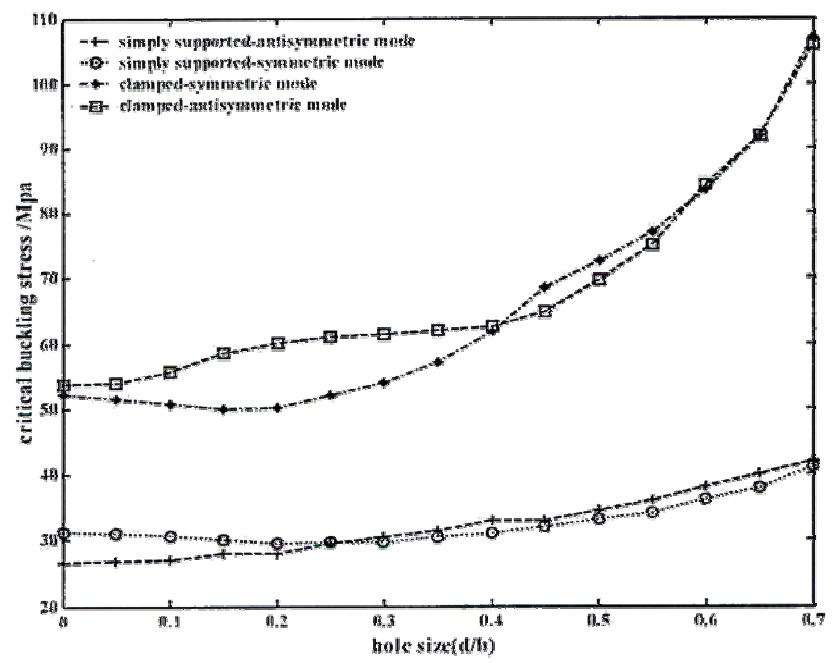
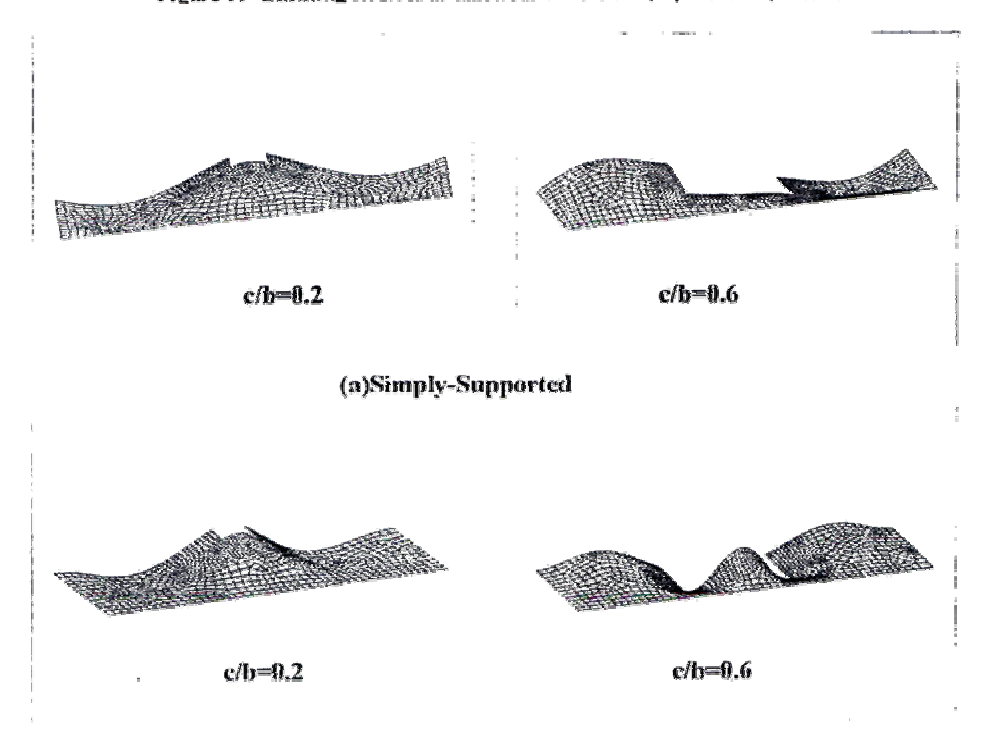


Figure 11- Backling stresses as functions of hole size; square hole; a/b=2.0



(b)Clamped
Figure 12-Critical buckling mode shapes of rectangular plates with square holes; a/b=2.0

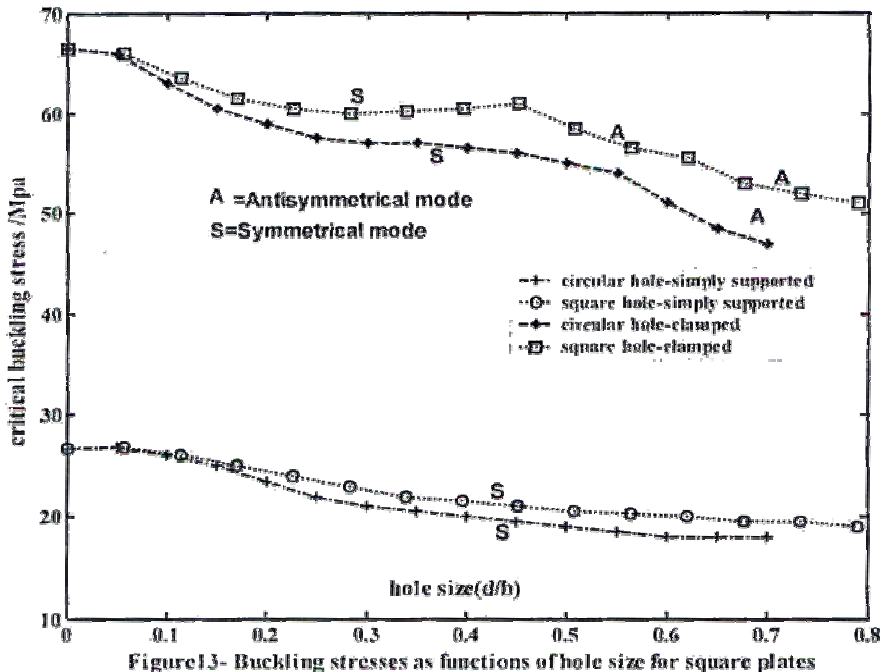
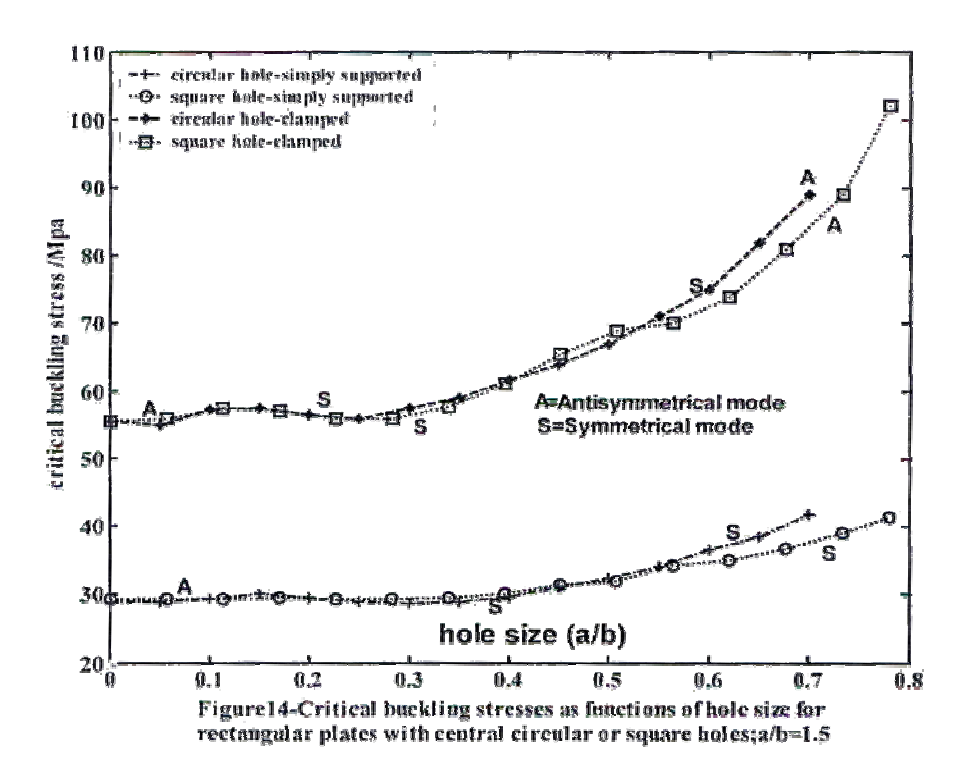
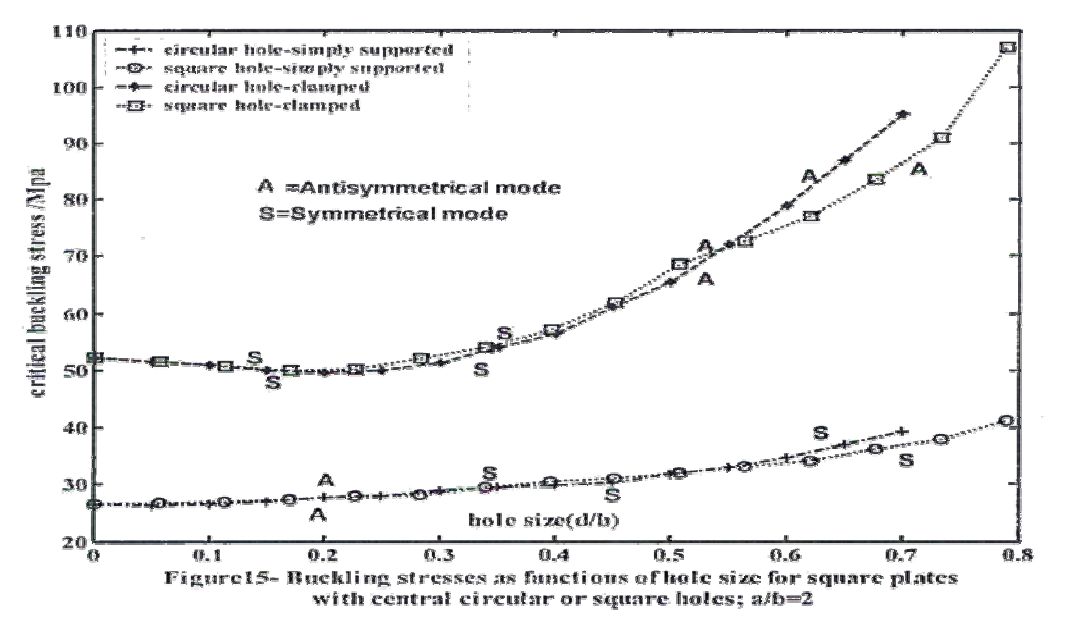
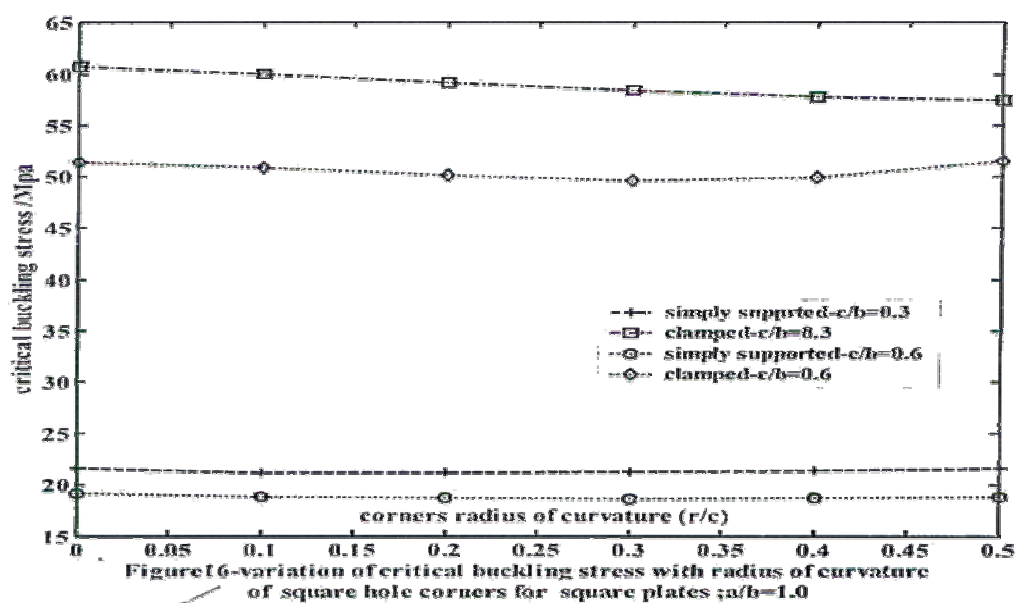


Figure 13- Buckling stresses as functions of hole size for square plates with central circular or square holes; a/b=1







32

and the second